

К ТЕОРИИ ФИЛЬТРАЦИОННОГО ГОРЕНИЯ ГАЗОВ

Ю. М. Лаевский, В. С. Бабкин, В. И. Дробышевич, С. И. Погытняков
(Новосибирск)

В работах [1, 2] рассмотрены закономерности процесса фильтрационного горения газов и показана существенная роль внутреннего (межфазного) и внешнего (система — окружающая среда) теплообмена. Наличие конечного теплообмена в волне горения приводит к возможности ее стационарного распространения за счет протекания высокотемпературной газофазной химической реакции в относительно узких поровых каналах. Для этого режима характерны низкие линейные скорости распространения и существенно двухтемпературная структура тепловой волны (РНС).

Из физических соображений можно ожидать, что по мере увеличения интенсивности внутреннего теплообмена (например, при уменьшении диаметра порового канала) разница температур фаз в волне горения будет уменьшаться и в предельном случае двухтемпературная структура волны выродится в однетемпературную. При этом твердая фаза будет играть роль гомогенной теплопроводящей инертной добавки. С другой стороны, при уменьшении внутреннего теплообмена процесс должен переходить на новый режим, в котором твердая фаза, фактически исключенная из сферы теплового взаимодействия в зоне пламени, не будет оказывать влияния на газофазное горение. Этот режим распространения пламени в инертной пористой среде, идущий с высокими линейными скоростями за счет переносных свойств газа (РВС), экспериментально исследовался ранее в [3, 4].

Таким образом, при вариациях межфазного теплообмена можно ожидать существенного изменения роли твердой фазы в процессе фильтрационного горения газов и, как следствие, существенного изменения структурных и скоростных характеристик волн. Теоретическое исследование этих вопросов является задачей настоящей работы.

1. Постановка задачи

Рассматриваются стационарные адиабатические плоские волны горения в неограниченной пористой инертной среде при подводе горючей газовой смеси к зоне реакции фильтрационным потоком. Уравнения, описывающие стационарное распространение фронта пламени в системе координат, связанной с волной, имеют вид

$$\begin{aligned} \frac{d}{d\xi} \kappa_{\eta} \frac{d\eta}{d\xi} - \frac{d\eta}{d\xi} - \tau w(\eta, y) &= 0, \\ \frac{d}{d\xi} \kappa_T \frac{dy}{d\xi} - \frac{dy}{d\xi} + \tau y_b w(\eta, y) - \alpha(y - z) &= 0, \\ \frac{d}{d\xi} \kappa_{\theta} \frac{dz}{d\xi} - (\omega - 1) \frac{dz}{d\xi} + \alpha(y - z) &= 0. \end{aligned} \quad (1.1)$$

Система (1.1) записана в безразмерных переменных: η — относительная массовая концентрация недостающего компонента; $y = \frac{T - T_0}{T_p - T_0}$; $z = \frac{\Theta - T_0}{T_p - T_0}$; T и Θ — температуры газовой и твердой фаз; T_0 — температура исходной смеси; T_p — максимальная температура газа в зоне реакции; $\xi = x/L$; x — независимая пространственная переменная; $L = \frac{m\lambda_{Tp} + (1-m)\lambda_{\Theta p}}{mc_T G}$; m — пористость; $\lambda_{Tp} = \lambda_T(1)$; $\lambda_{\Theta p} = \lambda_{\Theta}(1)$; $\lambda_T(y)$ — теплопроводность газа; $\lambda_{\Theta}(y)$ — эффективная продольная теплопроводность инертного слоя; $c_T = \text{const}$ — удельная теплоемкость газа; $G = \rho_T(v - u)$ — плотность потока газа (массовая скорость); $\rho_T(y)$ — плотность газовой фазы; $v(y)$ — скорость потока; u — скорость волны.

Из уравнения неразрывности следует

$$G = \rho_{T_0}(v_0 - u) = \text{const}, \quad \rho_{T_0} = \rho_T(0), \quad v_0 = v(0).$$

Далее,

$$\kappa_{\eta} = \rho_{T_0} D / GL; \quad \kappa_T = \lambda_T / c_T GL; \quad \kappa_{\Theta} = (1 - m) \lambda_{\Theta} / mc_T GL;$$

D — коэффициент диффузии; $\alpha = \alpha_0 S_{уд} L / mc_T G$; α_0 — коэффициент теплообмена; $S_{уд}$ — удельная поверхность слоя; $\omega = \frac{v_0 - (1 + \sigma)u}{v_0 - u}$; $\sigma = \frac{(1 - m)c_{\Theta} \rho_{\Theta}}{mc_T \rho_T}$; c_{Θ} и ρ_{Θ} — удельная теплоемкость и плотность твердой фазы, $y_b = \frac{T_b - T_0}{T_p - T_0}$; T_b — адиабатическая температура горения газовой смеси; $\tau = \frac{L \rho_T}{G} k_0 \exp(-1/\beta)$; $\beta = RT_p / E$; E — энергия активации; R — универсальная газовая постоянная; k_0 — предэкспонент. Рассматривается необратимая реакция первого порядка

$$w(\eta, y) = \eta \exp\left[\frac{1}{\gamma} \frac{y - 1}{1 + \delta(y - 1)}\right], \quad \delta = \frac{T_p - T_2}{T_p}, \quad \gamma = \frac{\beta}{\delta}. \quad (1.2)$$

Граничные условия для системы (1.1) имеют вид

$$\xi = -\infty: \quad \eta = 1, \quad y = 0, \quad z = 0, \quad (1.3a)$$

$$\xi = +\infty: \quad \eta = 0, \quad \frac{dy}{d\xi} = 0, \quad \frac{dz}{d\xi} = 0. \quad (1.3b)$$

Порядок системы (1.1) может быть понижен. Домножим первое уравнение на y_b , сложим все три уравнения и результат проинтегрируем от $-\infty$ до ξ , используя при этом граничные условия (1.3a). Получим

$$y_b \kappa_{\eta} \frac{d\eta}{d\xi} + \kappa_T \frac{dy}{d\xi} + \kappa_{\Theta} \frac{dz}{d\xi} - y_b(\eta - 1) - y - (\omega - 1)z = 0. \quad (1.4)$$

Из третьего уравнения системы (1.1), условий (1.3b) и равенства (1.4) следует, что $y = z = y_e$ при $\xi = +\infty$, где $y_e = y_b / \omega$ — безразмерная равновесная температура. Из очевидного требования $y_e > 0$ следует условие $\omega > 0$. Отметим, что условия $\omega < 1$, $\omega > 1$ и $\omega = 1$ соответствуют значениям скорости волны $u > 0$, $u < 0$ и $u = 0$.

Введем переменную $p(\xi)$ по формуле

$$p = y + (\omega - 1)z - \kappa_T \frac{dy}{d\xi} - \kappa_{\Theta} \frac{dz}{d\xi}. \quad (1.5)$$

Тогда задача о распространении фронта пламени при фильтрационном горении газа примет вид

$$y_b \kappa_{\eta} \frac{d\eta}{d\xi} = y_b(\eta - 1) + p, \quad (1.6)$$

$$\frac{dp}{d\xi} = \tau y_b w(\eta, y).$$

Уравнением для y служит равенство (1.5), а для z остается третье уравнение системы (1.1)

$$\xi = -\infty; \quad p = 0; \quad \xi = +\infty: \quad p = y_b. \quad (1.7)$$

Задачу о нахождении собственного числа ω будем решать для больших энергий активации или во введенных обозначениях при выполнении неравенства

$$\beta \ll 1. \quad (1.8)$$

Из (1.8) следует возможность использования преобразования Франк-Каменецкого функции скорости реакции в окрестности значения $y = 1$:

$$w_0(\eta, y) = \eta \exp[(y-1)/\gamma]. \quad (1.9)$$

Неравенство (1.8) позволяет использовать некоторую модификацию подхода, предложенного в [5], которую в дальнейшем будем называть методом встречной экстраполяции. Ниже отдельно рассматривается предельный случай фильтрационного горения газа в условиях бесконечно интенсивного теплообмена ($\alpha = \infty$). Методом сращиваемых асимптотических разложений будет получено алгебраическое уравнение для нулевого приближения собственного числа задачи, которое при определенных формальных предположениях переходит с точностью до $O(\beta)$ в известные формулы для скорости распространения фронта ламинарного пламени при $Le \neq 1$ [6, 7] и пламени в конденсированной среде ($Le = 0$) [8, 9]. На этом же предельном случае продемонстрируем метод встречной экстраполяции. Далее, при помощи этого метода будет найдено уравнение для скорости волны при произвольных α .

2. Определение скорости волны при $\alpha = \infty$

Переходя в уравнении для z к пределу при $\alpha \rightarrow \infty$, получим $y = z$, и соответствующая однотемпературная модель примет вид

$$\begin{aligned} y_b \kappa_\eta \frac{d\eta}{d\xi} &= y_b(\eta - 1) + p, \\ \frac{dp}{d\xi} &= \tau y_b w(\eta, y), \\ \kappa \frac{dy}{d\xi} &= \omega y - p, \end{aligned} \quad (2.1)$$

где $\kappa = \kappa_T + \kappa_0$, с граничными условиями

$$\begin{aligned} \xi = -\infty: \quad \eta &= 1, \quad p = 0, \quad y = 0, \\ \xi = +\infty: \quad \eta &= 0, \quad p = y_b, \quad y = y_e. \end{aligned} \quad (2.2)$$

При $\kappa_\eta = \kappa_T = 0$ данная модель формально совпадает (в соответствующих обозначениях) с моделью распространения фронта реакции в неподвижном слое катализатора [10] и при $\kappa_\eta = 0$ ($Le = 0$) и $\omega = 1$ — с моделью распространения волны горения в конденсированной среде [8, 9].

В рассмотренном случае y монотонно меняется от 0 до 1 при $-\infty \leq \xi \leq +\infty$ и, следовательно, $y_e = 1$, $y_b = \omega$. Следуя стандартной процедуре [11], полагаем y независимой переменной и $p = p(y)$, $\eta = \eta(y)$. Тогда задача (2.1), (2.2) перепишется в виде

$$\omega \frac{\kappa_\eta}{\kappa} (\omega y - p) \frac{d\eta}{dy} = \omega(\eta - 1) + p, \quad (2.3)$$

$$\frac{1}{\kappa} (\omega y - p) \frac{dp}{dy} = \tau \omega w(\eta, y),$$

$$\begin{aligned} \eta(0) &= 1, \quad p(0) = 0, \\ \eta(1) &= 0, \quad p(1) = \omega. \end{aligned} \quad (2.4)$$

Через $\eta_0(y)$ и $p_0(y)$ будем обозначать нулевые приближения соответствующих функций в области, примыкающей к $y=0$ (внешняя область), и через $\eta_1(y_*)$, $p_1(y_*)$ — нулевые приближения в области, примыкающей к $y=1$ (внутренняя область). Здесь $y_* = (1-y)/\beta$ — внутренняя переменная. Во внешней области $p_0(y) = 0$ и условие срачивания внешнего и внутреннего решений принимает вид

$$p_1(y_*) \rightarrow 0 \text{ при } y_* \rightarrow \infty. \quad (2.5)$$

Линеаризуя функции κ , κ_η и τ во внутренней области ($\kappa(1) = 1$) и используя преобразование Франк-Каменецкого (1.9), получим

$$\frac{\omega \kappa_{\text{нр}}}{\beta} (p_1 - \omega) \frac{d\eta}{dy_*} = \omega (\eta_1 - 1) + p_1, \quad (2.6)$$

$$\frac{1}{\beta} (p_1 - \omega) \frac{dp}{dy_*} = \tau_p \omega \eta_1 e^{-\delta y_*},$$

$$\eta_1(0) = 0, \quad p_1(0) = \omega. \quad (2.7)$$

Проинтегрируем второе уравнение системы (2.6) от 0 до ∞ с учетом условий (2.5), (2.7)

$$\frac{\omega}{2\beta} = \tau_p \int_0^\infty \eta_1 e^{-\delta y_*} dy_*. \quad (2.8)$$

Найдем η_1 из первого уравнения системы (2.6), подставим полученное выражение во второе и результат проинтегрируем от 0 до ∞ . Учитывая равенство

$$\int_0^\infty \frac{d\eta_1}{dy_*} e^{-\delta y_*} dy_* = \delta \int_0^\infty \eta_1 e^{-\delta y_*} dy_*,$$

получим

$$\tau_p - \frac{\omega}{\gamma} = \tau_p \delta \frac{\omega}{\gamma} \kappa_{\text{нр}} \int_0^\infty \eta_1 e^{-\delta y_*} dy_*. \quad (2.9)$$

Исключая из (2.8) и (2.9) $\int_0^\infty \eta_1 e^{-\delta y_*} dy_*$, найдем уравнение для нулевого приближения скорости волны

$$\frac{2(\gamma/\omega)^2}{\kappa_{\text{нр}} + 2\gamma/\omega} \tau_p = 1. \quad (2.10)$$

При этом $T_p = T_0 + (T_b - T_0)/\omega$.

Если в системе отсутствует твердая фаза ($m = 1$), то $\kappa_{\text{нр}} = Le$, $\omega = 1$ и равенство (2.10) с точностью до членов порядка $O(\beta)$ переходит в известную формулу для нормальной скорости ламинарного пламени [11]. Если формально положить $\kappa_{\text{нр}} = 0$ и $\omega = 1$, то (2.10) переходит в формулу для скорости волны горения в конденсированной среде [8, 9]. Отличительная особенность уравнения (2.10) состоит в том, что оно дает скорость волны при любых κ_η (в том числе и при малых $\kappa_\eta \sim \beta$ — ситуация, имеющая место в рассматриваемом случае).

Теперь на задаче (2.1), (2.2) продемонстрируем метод встречной экстраполяции. Проинтегрируем второе уравнение системы (2.1) по ξ от $-\infty$ до $+\infty$. С учетом граничных условий получим

$$\int_{-\infty}^{\infty} \tau w(\eta, y) d\xi = 1. \quad (2.11)$$

В зоне прогрева $p(\xi) = 0$, а функции η и y имеют экспоненциальный характер. Располагая зону реакции в окрестности $\xi = 0$ и линеаризуя в этой точке функции κ_η и κ , найдем экстраполированные из зоны про-

грева в зону реакции концентрацию и температуру

$$\begin{aligned}\eta_-(\xi) &= 1 - \exp(\xi/\kappa_{np}), \\ y_-(\xi) &= \exp(\omega\xi) \approx 1 + \omega\xi\end{aligned}\quad (2.12)$$

(функцию η не раскладываем в ряд, так как κ_{np} может быть, вообще говоря, сколь угодно малой величиной). Далее экстраполируем концентрацию и температуру в зону реакции из зоны продуктов ($\xi > 0$)

$$\eta_+(\xi) = 0, \quad y_+(\xi) = 1. \quad (2.13)$$

В качестве $\eta(\xi)$ и $y(\xi)$ возьмем

$$\eta_0(\xi) = \frac{1}{2}[\eta_-(\xi) + \eta_+(\xi)], \quad y_0(\xi) = \frac{1}{2}[y_-(\xi) + y_+(\xi)]. \quad (2.14)$$

Здесь используются следующие соображения. Разложим функции $\eta(\xi)$ и $y(\xi)$ в ряды Фурье в окрестности $\xi = 0$ и устремим ширину зоны реакции к нулю. Тогда формальные производные от соответствующих рядов стремятся к разрывным функциям, которые в точке разрыва принимают значения полусумм левых и правых пределов.

Линеаризуя функцию τ в точке $\xi = 0$ и используя (1.9), вместо (2.11) получим

$$\tau_p \int_{-\infty}^0 \eta_0(\xi) \exp\{[y_0(\xi) - 1]/\gamma\} d\xi = 1. \quad (2.15)$$

Подставляя в (2.15) равенства (2.12)–(2.14), получим формулу для скорости волны, совпадающую с (2.10). Таким образом, используя в отличие от [5] экстраполяцию в зону реакции решения из зон прогрева и продуктов, в формуле для скорости волны получен постоянный коэффициент $\sqrt{2}$, а не единица.

3. Определение скорости волны при конечных α

Рассмотрим исходную задачу. В общем случае температура газа не является монотонной функцией. Пусть ее максимум, находящийся в зоне реакции, достигается при $\xi = 0$, т. е. $y(0) = 1$, $\frac{dy}{d\xi}(0) = 0$. Проэкстраполируем концентрацию из зоны прогрева в зону реакции

$$\eta_-(\xi) = 1 + (\eta_p - 1)e^{-\xi/\kappa_{np}}. \quad (3.1)$$

Здесь учитывается тот факт, что при достижении максимальной температуры еще не все вещество прореагировало, и реакция продолжается при температурах ниже максимальной. Экстраполяция из зоны охлаждения дает

$$\eta_+(\xi) = 0. \quad (3.2)$$

Экстраполируя ограниченное решение задачи (1.6) из окрестности точки $\xi = 0$, $y = 1$, $\frac{dy}{d\xi} = 0$ на всю зону реакции, получим

$$\begin{aligned}\eta_0(\xi) &= \eta_p e^{v\xi}, \\ p_0(\xi) &= y_b + (p_p - y_b)e^{v\xi},\end{aligned}\quad (3.3)$$

где

$$\begin{aligned}v &= \frac{1}{2\kappa_{np}}(1 - \sqrt{1 + 4\tau_p\kappa_{np}}) < 0, \\ \eta_p &= \frac{1}{1 - \kappa_{np}v} \left(1 - \frac{p_p}{y_b}\right).\end{aligned}\quad (3.4)$$

Последнее равенство является условием ограниченности решения при больших ξ . Это требование соответствует тому факту, что зона охлаждения образуется из-за выгорания горючей смеси. В силу этой же

причины в качестве результата применения метода встречной экстраполяции возьмем

$$\begin{aligned}\eta_-^0(\xi) &= \frac{1}{2}(\eta_-(\xi) + \eta_p e^{\nu \xi}), \quad \xi < 0, \\ \eta_+^0(\xi) &= \frac{1}{2}\eta_p e^{\nu \xi}, \quad \xi > 0.\end{aligned}\quad (3.5)$$

Здесь использовано равенство (3.2).

Экстраполированные из зон прогрева и охлаждения температурные профили определяются из системы уравнений

$$\begin{aligned}\frac{dy}{d\xi} &= \frac{1}{\kappa_{Tp}} y + \frac{\omega - 1}{\kappa_{Tp}} z - \frac{\kappa_{\Theta p}}{\kappa_{Tp}} z' + f, \\ \frac{dz}{d\xi} &= z', \\ \frac{dz'}{d\xi} &= -\frac{\alpha}{\kappa_{\Theta p}} y + \frac{\alpha}{\kappa_{\Theta p}} z + \frac{\omega - 1}{\kappa_{\Theta p}} z',\end{aligned}\quad (3.6)$$

где $f = 0$ при $\xi < 0$ и $f = -\frac{y_b}{\kappa_{Tp}}$ при $\xi > 0$. Собственные числа матрицы системы определяются как корни характеристического уравнения

$$\mu^3 + \left(\frac{1 - \omega}{\kappa_{\Theta p}} - \frac{1}{\kappa_{Tp}}\right)\mu^2 + \frac{\omega - 1 - \alpha}{\kappa_{Tp}\kappa_{\Theta p}}\mu + \frac{\alpha\omega}{\kappa_{Tp}\kappa_{\Theta p}} = 0. \quad (3.7)$$

Анализ уравнения (3.7) показывает, что при выполнении условия $\kappa_{Tp} < 1/2$ все корни вещественные и $0 < \mu_1 < \mu_2$, $\mu_3 < 0$. Кроме того, имеют место неравенства

$$\begin{aligned}\mu_3 < \frac{\omega - 1}{\kappa_{\Theta p}} < \mu_1 < \frac{1}{\kappa_{Tp}} < \mu_2 \quad \text{при } \kappa_{Tp}\omega < 1, \\ \frac{1}{\kappa_{Tp}} < \mu_1 < \frac{\omega - 1}{\kappa_{\Theta p}} < \mu_2 \quad \text{при } \kappa_{Tp}\omega > 1.\end{aligned}\quad (3.8)$$

В случае $\kappa_{Tp}\omega = 1$

$$\mu_1 = \frac{1}{\kappa_{Tp}}, \quad \mu_{2,3} = \frac{1}{2\kappa_{Tp}} \left(1 \pm \sqrt{1 + 4\alpha \frac{\kappa_{Tp}}{\kappa_{\Theta p}}} \right).$$

Проекстраполируем решение системы (3.6) из зон прогрева и охлаждения в зону реакции и потребуем непрерывности функций z и z' в точке $\xi = 0$. Тогда ограниченное решение задачи может быть представлено в следующем виде

$$\begin{aligned}y_- &= ae^{\mu_1 \xi} + be^{\mu_2 \xi}, \\ z_- &= r_1 ae^{\mu_1 \xi} + r_2 be^{\mu_2 \xi},\end{aligned}\quad (3.9)$$

$$\begin{aligned}z'_- &= \mu_1 r_1 ae^{\mu_1 \xi} + \mu_2 r_2 be^{\mu_2 \xi}, \\ y_+ &= y_e - ce^{\mu_3 \xi}, \\ z_+ &= y_e - r_3 ce^{\mu_3 \xi}, \\ z'_+ &= -\mu_3 r_3 ce^{\mu_3 \xi},\end{aligned}\quad (3.10)$$

где $r_i = \frac{\kappa_{Tp}\mu_i - 1}{\omega - 1 - \kappa_{\Theta p}\mu_i}$. Постоянные a , b и c определяются равенствами

$$\begin{aligned}a &= -\frac{\mu_2 \mu_3 y_e + \Delta}{r_1 (\mu_2 - \mu_1) (\mu_1 - \mu_3)}, \quad b = -\frac{\mu_1 \mu_3 y_e + \Delta}{r_2 (\mu_2 - \mu_1) (\mu_3 - \mu_2)}, \\ c &= -\frac{\mu_1 \mu_2 y_e + \Delta}{r_3 (\mu_1 - \mu_3) (\mu_3 - \mu_2)}, \quad \Delta = \frac{\alpha}{\kappa_{\Theta p}} [y_+(0) - y_-(0)].\end{aligned}\quad (3.11)$$

Далее, положим $y_-(\xi_-) = y_+(\xi_+) = 1$, где $|\xi_{\pm}| \ll \beta$. Согласно (3.9), (3.10), эти равенства могут быть переписаны в виде

$$\begin{aligned} a + be^{\mu_2 \xi_-} &= 1, \\ ce^{\mu_3 \xi_+} &= y_e - 1. \end{aligned} \quad (3.12)$$

Здесь использован тот факт, что μ_1 — ограниченный корень при $0 \leq \alpha \leq \infty$ и, следовательно, при любых α с точностью $O(\beta)$ имеет место $e^{\mu_1 \xi_-} = 1$. Подставляя выражения (3.11) в равенства (3.12) и исключая Δ , найдем y_e . Полученная таким образом величина удовлетворяет неравенствам $0 < y_e < 1$, которые следуют из оценок (3.8). Далее, согласно (1.5), получим

$$p_p = y_b - \kappa_{Tp} \mu_3 c e^{\mu_3 \xi_+}. \quad (3.13)$$

Из оценок (3.8) следует $0 < p_p < y_b$.

Теперь воспользуемся методом встречной экстраполяции

$$\begin{aligned} y_-^0(\xi) &= \frac{1}{2} [1 + y_-(\xi)] \approx 1 + \frac{1}{2} \frac{dy_-(\xi_-)}{d\xi} (\xi - \xi_-), \\ y_+^0(\xi) &= \frac{1}{2} [1 + y_+(\xi)] \approx 1 + \frac{1}{2} \frac{dy_+(\xi_+)}{d\xi} (\xi - \xi_+). \end{aligned} \quad (3.14)$$

Согласно (3.9), (3.10), имеем

$$\frac{dy_-(\xi_-)}{d\xi} = \mu_1 a + \mu_2 b e^{\mu_2 \xi_-}, \quad \frac{dy_+(\xi_+)}{d\xi} = -\mu_3 c e^{\mu_3 \xi_+}. \quad (3.15)$$

Интегральный баланс дает

$$1 = \tau_p \left\{ \int_{-\infty}^0 \eta_-^0 \exp\left[\frac{1}{\gamma}(y_-^0 - 1)\right] d\xi + \int_0^{\infty} \eta_+^0 \exp\left[\frac{1}{\gamma}(y_+^0 - 1)\right] d\xi \right\}. \quad (3.16)$$

Подставляя в равенство (3.16) выражения (3.5), (3.14), после всех преобразований получим

$$\tau_p \left(\frac{2\gamma_-^2}{\kappa_{\eta p} + 2\gamma_-} + \eta_p \varphi \right) = 1, \quad (3.17)$$

где

$$\varphi = 2\gamma_- \left(\frac{\gamma_- + \kappa_{\eta p}}{2\gamma_- + \kappa_{\eta p}} - \nu\gamma_- \right) - \frac{\gamma_+}{1 + 2\nu\gamma_+}, \quad \gamma_{\pm} = \frac{\gamma}{\frac{dy_{\pm}(\xi_{\pm})}{d\xi}}.$$

Величины ν , η_p , y_b , $\frac{dy_{\pm}(\xi_{\pm})}{d\xi}$ определяются из (3.4), (3.12), (3.13), (3.15). При этом $T_p = T_0 + (T_b - T_0)/y_b$. Детальный анализ формулы (3.17) показывает, что при $\alpha \rightarrow 0$ она переходит в равенство

$$\frac{2\gamma^2}{Le_b + 2\gamma} \kappa_{Tb} \tau_b = 1, \quad (3.18)$$

которое в соответствующих обозначениях с точностью до членов $O(\beta)$ совпадает с формулой для нормальной скорости ламинарного пламени. При $\alpha \rightarrow \infty$ (3.17) переходит в (2.10). Кроме того, в указанных предельных случаях $\eta_p = 0$, что вполне естественно (температура газа монотонна и зона догорания отсутствует).

4. Обсуждение результатов

Учет теплового межфазного взаимодействия без ограничения его интенсивности в зоне тепловой волны позволяет наиболее полно проанализировать роль различных характеристик пористой среды в процессе фильтрационного горения газов в широком диапазоне изменения α , включая предельные случаи $\alpha = 0$ и $\alpha = \infty$. Ниже приводятся результа-

ты этого анализа при следующем выборе эмпирических формул для определения параметров задачи.

Коэффициент теплообмена определяется по формулам [12]

$$Nu_0 = 0,725 Re_0^{0,47}, \quad Re_0 \leq 30,$$

$$Nu_0 = 0,395 Re_0^{0,64}, \quad Re_0 \geq 30,$$

где

$$Nu_0 = \frac{\alpha_0 d_0}{\lambda_T}, \quad Re_0 = \frac{2}{3} \frac{m d v_0 \rho_{T_0} c_T}{(1-m) \lambda_{T_0}} = \frac{v d_0}{\nu}.$$

Здесь учтено, что для РНС $\rho_T v \approx \rho_{T_0} v_0$ и $Pr = 1$. Причем если $Nu_0 < 2$, то полагаем $Nu_0 = 2$. Эффективную теплопроводность каркаса находили по формуле [12]

$$\lambda_0 = \lambda_T (1 + \xi Re) \Phi + \alpha_r d,$$

где $\xi = 0,1$; $\Phi = 0,1$; $\alpha_r = 0,227 \frac{p}{2-p} \times \left(\frac{T_{оп}}{100} \right)^3$ — коэффициент теплообмена излучением в пористой среде; $p = 1$; $T_{оп} = 1000$ К; $\lambda_T \ll \lambda_K$ — теплопроводности материала пористой среды; $Re_0 = \frac{2m}{3(1-m)} Re$.

При определении $S_{уд}$ предполагалось, что пористая среда состоит из элементов с поверхностью, равной шару диаметром d :

$$S_{уд} = \frac{4m}{d_0} = \frac{6(1-m)}{d}.$$

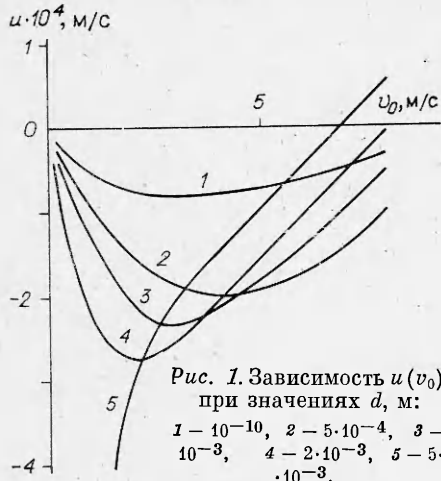


Рис. 1. Зависимость $u(v_0)$ при значениях d , м: 1 — 10^{-10} , 2 — $5 \cdot 10^{-4}$, 3 — 10^{-3} , 4 — $2 \cdot 10^{-3}$, 5 — $5 \cdot 10^{-3}$.

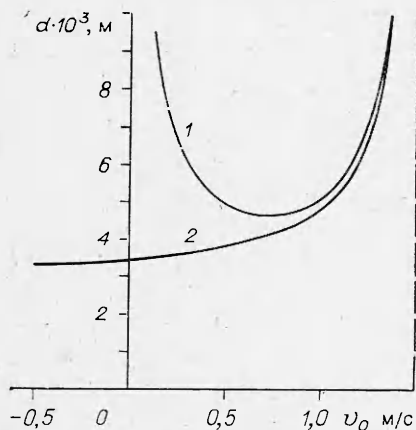


Рис. 2. Области существования РНС и РВС.

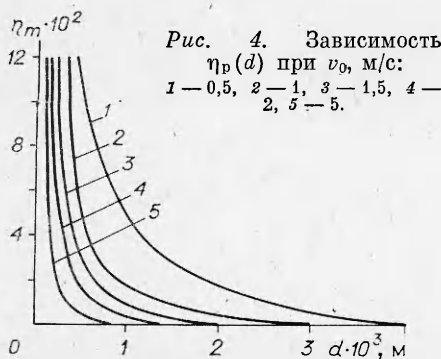


Рис. 4. Зависимость $\eta_p(d)$ при v_0 , м/с: 1 — 0,5, 2 — 1, 3 — 1,5, 4 — 2, 5 — 5.

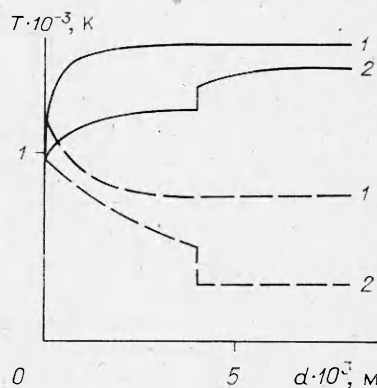


Рис. 3. Зависимость T_p (сплошные линии) и T_e (штриховые) от d при $v_0 = 2$ (1) и 0,5 м/с (2).

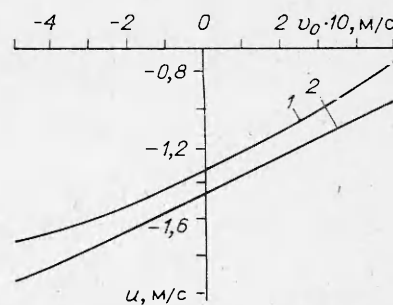


Рис. 5. Зависимость $u(v_0)$ в РВС при $d = 5 \cdot 10^{-3}$ (1) и 10^{-2} м (2).

Приведенные ниже результаты теоретического анализа (рис. 1—5) получены при следующих численных значениях параметров: $k_0 = 5 \cdot 10^{10}$ 1/с, $E = 126$ кДж/моль, $m = 0,5$, $\rho_{T_0} = 0,5$ кг/м³, $\rho_0 = 5 \cdot 10^3$ кг/м³, $c_T - c_0 = 1$ кДж/(кг · К), $\lambda_T = 0,1$ Вт/(м · К), $T_b = 1500$ К.

В случае $\alpha \rightarrow \infty$ уравнение (3.17) переходит в (2.10). На рис. 1 приведена зависимость скорости волны горения u от скорости потока горючей смеси v_0 . Видно, что поведение кривой $u(v_0)$ имеет типичный для РНС U-образный характер.

Полученному результату можно придать следующий физический смысл. В системе координат, связанной с фронтом пламени, горючий газ поступает в зону горения со скоростью $v_0 - u$, а пористая среда — со скоростью $|u|$, т. е. каждому значению $|u|$ при $u < 0$ соответствует процесс горения газовой смеси с некоторой фиксированной гомогенной инертной добавкой. Чем больше $|u|$, тем больше газ «разбавлен» инертной добавкой и тем ниже температура пламени $T_e = T_0 + Q/\omega c_T$, ω увеличивается. В состоянии «стоячей волны» ($\omega = 1$) «разбавление» инертном отсутствует и температура пламени, так же как и в РВС, равна адиабатической. Но при этом скорость пламени относительно горючего газа оказывается выше, чем в случае РВС (см. рис. 1). Это объясняется тем, что инертная добавка при $u < 0$ не только понижает температуру пламени, но и увеличивает скорость пламени за счет более высокой эффективной теплопроводности. Действительно, если исключить эффект понижения температуры пламени, сохранив при этом неподвижную добавку в зоне пламени (случай $u = 0$ или $\omega = 1$), то из (2.10), (3.18) следует

$$\frac{v_{0,\alpha \rightarrow \infty}}{v_{0,\alpha \rightarrow 0}} = \sqrt{\frac{\lambda_{\text{эф}}}{\lambda_T} \frac{Le + 2\gamma}{\kappa_\eta + 2\gamma}} \approx 6,3,$$

где $\lambda_{\text{эф}} = \lambda_T + \frac{(1-m)}{m} \lambda_0$; $\gamma = RT^2/E(T_b - T_0)$. Эта оценка показывает высокую способность теплопроводящей добавки увеличивать скорость распространения газового пламени.

В случае $\alpha \rightarrow 0$ уравнение (3.17) переходит в (3.18) для нормальной скорости ламинарного пламени [11]. Таким образом, режим горения при $\alpha \rightarrow 0$ лежит в области РВС и соответствует обычному процессу ламинарного распространения пламени, характеризующемуся нормальной скоростью S_u и идущему за счет молекулярных переносных свойств газовой фазы. При этом система (1.1), как отмечалось в [1], расщепляется: слабый сток тепла из газа, учитываемый уравнением для пористой среды, практически не оказывает влияния на распространение пламени против потока. Это означает, что разрывается цикл рекуперации тепла в схеме продукты сгорания — пористая среда — свежий газ — продукты сгорания.

Модель не дает решения для РВС при движении волны вниз по потоку в направлении продуктов сгорания, и это соответствует реальности: в достаточно длинной трубе пламя не может распространяться по потоку сколь угодно долго с большими линейными скоростями, так как при реально существующей малой, но конечной величине α температура пористой среды со временем поднимается до больших значений, определяемых величиной T_e , и РВС перейдет в РНС. Следовательно, естественным ограничением для РВС является условие $v < S_u$.

Необходимо заметить, что рассматриваемая модель процесса не учитывает аэродинамического взаимодействия газа с пористой средой. Поле скоростей газа в поперечных направлениях принимается однородным. Поэтому предельному случаю $\alpha \rightarrow 0$ отвечает процесс ламинарного распространения пламени с нормальной скоростью $S_u = v - u$. В действительности, как показывает опыт [3, 4], в РВС наблюдается, как правило, не ламинарное горение, а турбулентное. При этом скорость распространения волны горения относительно свежего газа $S_{pu} > S_u$. Учет этого обстоятельства требует модификации уравнений (1.1) с привлечением, в частности, турбулентных характеристик тепломассопереноса в газовой фазе, что выходит за рамки настоящего исследования.

Случай $0 < \alpha < \infty$. При конечных значениях α может реализоваться РНС с присущими этому режиму особенностями [1, 2]. Зависимость $u(v_0)$ имеет характерный U-образный вид с минимальной скоростью u_{\min} при некотором значении v_m (см. рис. 1). При $\omega > 1$, $v_0 > 0$ тепловая волна движется против потока, при $\omega < 1$, $v_0 > 0$ — по потоку, условию $\omega = 1$ отвечает состояние стоячей волны. Скоростные характеристики волны зависят от величины внутреннего теплообмена, в частности от размера порового канала d и скорости потока v_0 .

Из рис. 1 видно, что по мере уменьшения α (увеличения d) кривая $u(v_0)$ вытягивается в сторону отрицательных величин u . При некоторых значениях $v_{0, \text{кр}}$, $d_{\text{кр}}$ происходит переход на РВС. С математической точки зрения имеет место следующая картина. При фиксированном значении $v_0 < S_u$ и достаточно малом d уравнение (3.17) с условием $\omega > 0$ имеет одно решение, соответствующее РНС. С увеличением d его значение достигает $d'_{\text{кр}}$, при котором зарождаются еще два решения. Одно из них соответствует РВС, а второе (неустойчивое) с дальнейшим ростом d перемещается к корню, соответствующему РНС, и при $d = d''_{\text{кр}}$ сливается с ним. При дальнейшем росте d остается одно решение, которому отвечает РВС. На рис. 2 приведены бифуркационные кривые в плоскости параметров v_0 , d . Ниже кривой 2 возможен только РНС, выше кривой 1 — только РВС, в области между этими кривыми возможна реализация обоих режимов в зависимости от начального состояния системы (область неединственности решения). Вопрос о выходе на тот или иной режим в этом случае в данной работе специально не исследовался. Из рис. 2 видно, что при $v_{0, \text{кр}} \rightarrow S_u$ (штриховая линия) $d'_{\text{кр}} \rightarrow \infty$ и $d''_{\text{кр}} \rightarrow \infty$. При $v_0 > S_u$ РВС невозможен.

Специфическая особенность РНС — пикообразный профиль температуры газа в зоне химической реакции. По ходу реакции температура газа «отрывается» от температуры пористой среды, проходит максимум T_p и далее релаксирует к конечной температуре системы T_e . На рис. 3 приведены зависимости T_p и T_e от диаметра порового канала при разных скоростях потока. Видно, что при $d \rightarrow 0$ разница между T_p и T_e уменьшается и на пределе температуры фаз совпадают. При $d > d_{\text{кр}}$ процесс горения переходит в РВС, а T_p и T_e скачкообразно принимают новые значения (ступеньки на кривых 2). С ростом v_0 обе температуры поднимаются. Из-за больших значений $|u|$ в РВС T_e очень низки. Таким образом, РВС — принципиально двухтемпературный режим. Однако вследствие медленной релаксации температуры в газе фактор двухтемпературности не играет существенной роли в процессе распространения пламени.

Новый результат настоящего анализа — неполное выгорание η_p при T_p . На рис. 4 приведена зависимость $\eta_p(d)$ при разных скоростях потока. Видно, что при прочих равных условиях наибольшей неполноте выгорания отвечают малые d и v_0 .

Рассматриваемая модель фильтрационного горения газов допускает существование волн горения в области $v_0 \leq 0$. Как и в случае $v_0 > 0$, принципиально возможны два режима горения: при больших α — РНС, при малых — РВС (см. рис. 1). Физически это означает, что горение поддерживается только внутрипоровым теплоемкостью газа. Поскольку в РВС межфазный теплообмен мал, пористая среда не препятствует распространению пламени и практическая реализация рассматриваемого случая в РВС не вызывает сомнений. Зависимости для этого случая приведены на рис. 5. Что касается РНС, то весьма низкие значения T_p и T_e делают этот режим маловероятным при нормальных условиях. Однако при повышенных давлениях, высокой пористости среды, больших тепловых эффектах режим РНС, по-видимому, может быть реализован в эксперименте. При этом существенное значение должны иметь теплопотери в окружающее пространство.

Выводы

1. Исследована двухтемпературная адиабатическая модель процесса фильтрационного горения газов с учетом молекулярного переноса в газовой фазе и конечной ширины зоны химической реакции, что позволило провести общий анализ роли теплового межфазного взаимодействия, включая предельные случаи. С помощью модифицированного экстраполяционного метода получены приближенные соотношения для определения основных характеристик процесса.

2. Показана возможность реализации двух режимов горения — РНС и РВС. Определены области параметров, отвечающих этим режимам. Указана область неединственности.

3. Показаны возможность и условия реализации трех типов распространения пламени: спутного движения волны горения в направлении продуктов сгорания, спутного и встречного в направлении свежего газа, в частности при нулевом значении скорости фильтрации.

4. Показана возможность торможения реакции за счет внутреннего теплового взаимодействия, приводящего к неполному выгоранию в области максимальных температур газа.

Поступила в редакцию 31/X 1982

ЛИТЕРАТУРА

1. В. С. Бабкин, В. И. Дробышевич и др. ФГВ, 1983, 19, 2.
2. С. И. Попытняков, Ю. М. Лаевский, В. С. Бабкин. ФГВ, 1984, 20, 1.
3. В. С. Бабкин, В. А. Бунев, А. А. Коржавин. — В кн.: Горение газов и натуральных топлив. Черноголовка, 1980.
4. А. А. Коржавин, В. А. Бунев и др. ФГВ, 1982, 18, 6.
5. Я. Б. Зельдович. Кинетика и катализ, 1961, 2, 3.
6. W. W. Bush, F. E. Fendell. Combust. Scie. Technol., 1970, 1, 421.
7. В. С. Берман, Ю. С. Рязанцев. ПММ, 1972, 36, 4.
8. В. С. Берман, Ю. С. Рязанцев. ПМТФ, 1972, 5.
9. Б. В. Новожилов. Докл. АН СССР, 1961, 141, 1.
10. О. В. Киселев, Ю. Ш. Матрос. ФГВ, 1980, 16, 2.
11. Я. Б. Зельдович, Г. И. Баренблатт и др. Математическая теория горения и взрыва. М.: Наука, 1980.
12. М. Э. Аэров, О. М. Тодес, Д. А. Наринский. Аппараты со стационарным зернистым слоем. Л.: Химия, 1979.

ПАРОФАЗНОЕ ГОРЕНИЕ ЖИДКОСТИ В НАСТИЛЬНОМ ТУРБУЛЕНТНОМ ФАКЕЛЕ

Г. С. Сухов, Л. П. Ярин

(Ленинград)

Горение жидкости при обдуве ее поверхности потоком газообразного окислителя лежит в основе разнообразных энергетических, химико-технологических и металлургических процессов, а также реализуется при пожарах (горение нефтяных пятен на море, нефтехранилищ и др.).

С позиций аэродинамической теории факела этот процесс исследован в [1]. На основе модели асимптотического пограничного слоя получены аналитические решения для полей гидродинамических, тепловых и диффузионных величин при ламинарном режиме течения, а также определены скорость горения жидкости, конфигурация фронта пламени и др. Учет химической кинетики [2] не привел к существенной коррекции основных результатов анализа [1], за исключением области срыва горения, возникающей на участке фронта реакции вблизи свободной поверхности.

В большинстве случаев, однако, горение носит турбулентный характер из-за возмущений, обычно присутствующих в потоке газа над